

เทคโนโลยีการออกแบบวงจรซึ่งมีอุปกรณ์ตัดต่อที่ปรับค่าขยาย ทรานส์ค่อนดักแตนช์ได้ด้วยวิธีอิเล็กทรอนิกส์

Techniques for the Realization of CMOS-based Electronically Tunable Transconductors

ชนิษฐา แก้วแดง

คณะวิศวกรรมศาสตร์ มหาวิทยาลัยอุบลราชธานี อ.วารินชำราบ จ.อุบลราชธานี 34190

Khaniththa Kaewdang

Faculty of Engineering, Ubon Ratchathani University, Warinchamrap, Ubonratchathani 34190

Tel: 0-4535-3354 E-mail: khaniththa.k@ubu.ac.th

บทคัดย่อ

บทความนี้เกี่ยวกับเทคโนโลยีการออกแบบวงจรทรานส์ค่อนดักเตอร์แบบเชิงเส้น ที่ออกแบบโดยใช้เทคโนโลยีซึ่งมีส่วนประกอบที่ปรับค่าขยายทรานส์ค่อนดักเตอร์ได้ด้วยวิธีอิเล็กทรอนิกส์ โดยได้ร่วบรวมหลักการและเทคนิคในการออกแบบ วงจรทรานส์ค่อนดักเตอร์ที่ได้มีการนำเสนอไว้ ทั้งที่เป็นแบบควบคุมอัตราขยายทรานส์ค่อนดักแตนช์ได้ด้วยแรงดัน และแบบที่ควบคุมอัตราขยายทรานส์ค่อนดักแตนช์ได้ด้วยกระแส วงจรทรานส์ค่อนดักเตอร์แบบที่สามารถควบคุมด้วยกระแสนั้น สามารถให้ช่วงอัตราขยายทรานส์ค่อนดักเตอร์ที่กว้างกว่า และสามารถทำงานได้ในช่วงความถี่สูงกว่า ซึ่งถือว่าเป็นคุณสมบัติที่สำคัญในการนำไปใช้ในวงจรต่างๆ เช่น วงจรกรองแบบเวลาต่อเนื่อง เป็นต้น ในบทความนี้ได้อธิบายถึงทฤษฎีและหลักการสำหรับ การออกแบบ การวิเคราะห์การทำงานของแต่ละวงจร รวมทั้งการอภิปรายคุณสมบัติเฉพาะของแต่ละวงจรที่ได้จาก การออกแบบในแต่ละวิธี นอกจากนั้นยังได้นำเสนอ 2 เทคนิคใหม่ สำหรับการพัฒนาวงจรทรานส์ค่อนดักเตอร์ที่สามารถปรับค่าอัตราขยายได้แบบเชิงเส้นที่ควบคุมด้วยกระแสไว้ด้วย คำหลัก ทรานส์ค่อนดักเตอร์ ซึ่งมีส่วน การปรับค่าแบบเชิงเส้น วงจรกระแสควบคุม วงจรแรงดันควบคุม

Abstract

This paper is concern with the design techniques of linear transconductors based on

CMOS technology. The design principle and technique of both voltage-controlled and current controlled transconductors are reviewed. Since the current-controlled transconductors have wider tuning range and higher frequency response, they are nowadays found popular realizations for many electronic circuits, such as integrated continuous time filter. In this paper, the realization methods, the principle of operations, and the circuit characteristics of the transconductor circuits are described and discussed. Moreover two new circuit design techniques for the synthesis of current-controlled linearly tuned CMOS transconductors are outlined in this paper.

Keywords: Transconductor, CMOS, linear tunable, current-controlled circuits, voltage-controlled circuits.

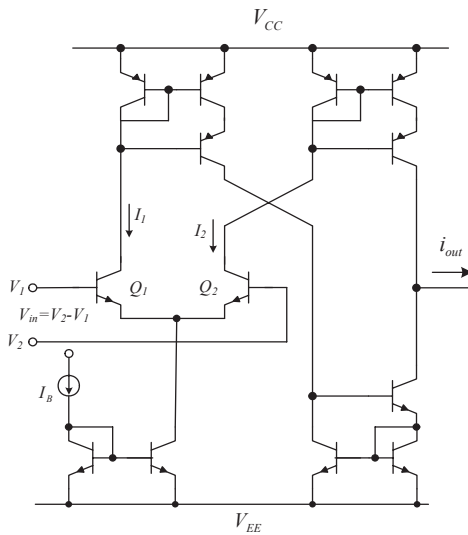
1. บทนำ

ปัจจุบันความก้าวหน้าในเทคโนโลยีการออกแบบ วงจรรวม หรือ ไอซี (Integrated Circuit, IC) มีความเจริญ รุ่งเรืองไปอย่างรวดเร็วมาก เพื่อให้สามารถตอบสนองกับ เทคโนโลยีในปัจจุบันที่มีการพัฒนาอย่างต่อเนื่อง ดังนั้น การพัฒนาและออกแบบวงจรรวมให้มีประสิทธิภาพสูง และ เหมาะสมกับเทคโนโลยีที่ใช้ในปัจจุบันจึงเป็นสิ่งสำคัญ และ จำเป็นมาก โดยทั่วไปในระบบประมวลผลสัญญาณนั้นยัง มีส่วนของวงจรแอนะล็อกที่มีความสำคัญอย่างยิ่ง วงจร

แอนะล็อกยังมีการประยุกต์ใช้งานมากมาย ยกตัวอย่าง เช่น ในระบบสื่อสาร ระบบเครื่องมือวัด ระบบการแสดงผล ซึ่งจะต้องมีส่วนของวงจรแอนะล็อกทั้งนั้น วงจรพื้นฐานที่สำคัญและมีการนำไปประยุกต์ใช้สำหรับการออกแบบ วงจร ในระบบแอนะล็อกของวงจรหนึ่ง คือ วงจรทรานส์ค่อนดักเตอร์ หรือวงจรแปลงสัญญาณแรงดันเป็นสัญญาณ กระแส วงจรนี้มีการประยุกต์ใช้สำหรับการออกแบบระบบ วงจรอิเล็กทรอนิกส์แบบแอนะล็อกอย่างมากมาย ตัวอย่างเช่น ในส่วนของวงจรเชื่อมต่อ (interface circuits) ส่วนของโครงสร้างของวงจรขยายทางด้านเครื่องมือวัด (instrumentation amplifiers) โครงสร้างของวงจรกรอง สัญญาณเชิงสัญญาณต่อเนื่อง (continuous time filters) และวงจรกำเนิดความถี่ (oscillators) เป็นต้น และถ้าหากสามารถออกแบบให้วงจรทรานส์ค่อนดักเตอร์มีคุณสมบัติ ที่ค่าขยายทรานส์ค่อนดักแคนเดนซ์ (transconductance gain) สามารถปรับค่าไปได้อย่างเป็นเชิงเส้นด้วยวิธี อิเล็กทรอนิกส์ (electronically tunable) ได้ด้วยการ ควบคุมโดยกระแส หรือ ควบคุมโดยแรงดันไฟฟ้า วงจร ทรานส์ค่อนดักเตอร์นี้สามารถนำไปประยุกต์ใช้งานได้ กว้างขวางมากยิ่งขึ้น โดยเฉพาะในระบบวงจรที่ต้องการ ปรับค่าพารามิเตอร์ เช่น วงจรควบคุมค่าขยายอัตโนมัติ (automatic gain controlled circuit) และวงจรคูณสัญญาณ ทางแอนะล็อก (analog multiplier circuit) เป็นต้น

ในรอบสองศตวรรษที่ผ่านมา เป็นที่ยอมรับกันว่า วงจรทรานส์ค่อนดักเตอร์แบบเชิงเส้นที่มีชื่อเรียกว่า วงจรขยายโอเพอร์เรชันแணลทรานส์ค่อนดักแคนเดนซ์ หรือ โอทีเอ (Operational Transconductance Amplifier: OTA) ที่ออกแบบโดยใช้ใบโพลาร์ทรานซิสสเตอร์ (bipolar transistor) ตามวงจรรูปที่ 1 [1] เป็นวงจรที่มีโครงสร้างไม่ซับซ้อน ประกอบด้วย วงจรขยายสัญญาณผลต่าง (differential amplifier) และวงจรสหองกระแส (current mirror) นั้น เป็นอุปกรณ์พื้นฐานหลักที่มีความสำคัญมาก ตัวหนึ่ง มีการนำໄไปใช้ประโยชน์กันอย่างกว้างขวางใน การออกแบบวงจรทางด้านแอนะล็อก

โดยทั่วไปสำหรับใบโพลาร์ทรานซิสสเตอร์ความ สัมพันธ์ของกระแสออกเลคเตอร์ (I_C) กับแรงดันเบส อิมิตเตอร์ (V_{BE}) กรณีสัญญาณเข้ามีขนาดใหญ่ (large signal) จะอยู่ในเทอมของพังก์ชันเอกบีโภเนียล ดัง สมการที่ 1



รูปที่ 1 วงจรขยายโอเพอร์เรชันแணลแบบใบโพลาร์เทคโนโลยี

$$I_C = I_S \exp\left(\frac{V_{BE}}{V_T}\right) \quad (1)$$

เมื่อ I_S คือ กระแสอิ่มตัว (saturation current) $V_T = kT/q$ คือแรงดันอุณหภูมิ (thermal voltage) โดยที่ k คือ Boltzman Costant ($1.38 \times 10^{-23} \text{ J/K}$), q คือ ค่าประจุของ อิเล็กตรอน ($1.60 \times 10^{-19} \text{ C}$) และ T คือ อุณหภูมิสัมบูรณ์ ดังนั้นตามวงจรรูปที่ 1 สามารถแสดงความสัมพันธ์ของ กระแส I_1 และ I_2 ดังสมการ (2) และ (3) ตามลำดับ

$$I_1 = I_S \exp\left(\frac{V_1}{V_T}\right) \quad (2)$$

$$I_2 = I_S \exp\left(\frac{V_2}{V_T}\right) \quad (3)$$

และเนื่องจาก ค่ากระแสดีซีใบอัตต์ I_B เป็นผลรวมของ กระแส

$$I_B = I_1 + I_2 \quad (4)$$

ทำให้จากการวิเคราะห์วงจรรูปที่ 1 และพิจารณาจาก สมการ (2), (3) และ (4) จะได้ว่า

$$I_{out} = I_2 - I_1 = I_B \tanh\left(\frac{V_2 - V_1}{2V_T}\right) \quad (5)$$

โดยที่แรงดันอินพุต $V_{in} = V_2 - V_1$ ดังนั้น จากสมการ (5) จะได้ว่า

$$I_{out} = I_2 - I_1 = I_B \tanh\left(\frac{V_{in}}{2V_T}\right) \quad (6)$$

และเนื่องจากค่าขยายทรานส์ค่อนดักแคนซ์ (transconductance gain) ของโอลีโอแบบใบโพลาร์ กรณี สัญญาณเข้าขนาดเล็ก (small signal) หาได้จาก

$$g_m = \frac{dI_{out}}{dV_{in}} \Big|_{V_{in}=0} = \left[\frac{I_B}{2V_T} \operatorname{sech}^2\left(\frac{V_{in}}{2V_T}\right) \right]_{V_{in}=0} \quad (7)$$

ดังนั้นจะได้

$$g_m = \frac{I_B}{2V_T} \quad (8)$$

ผลจากสมการ (8) แสดงถึงคุณสมบัติที่สำคัญของโอลีโอ คือค่าขยายทรานส์ค่อนดักแคนซ์ (g_m) และผันตรงกับค่ากระแสใบอัส I_B ทำให้สามารถปรับค่าขยายไปได้แบบเป็นชิ้งเส้นโดยการปรับกระแส I_B ด้วยหลักการนี้ทำให้โอลีโอที่ผลิตเป็นวงจรรวมแบบอุตสาหกรรม เช่น CA3080 หรือ CA3080A [1] สามารถปรับค่าอัตราขยายด้วยกระแส I_B ในช่วงกว้างถึง 4 เดเคต (decade) เช่น จากค่ากระแส $I_B = 0.1\text{ mA}$ ถึง $I_B = 1\text{ mA}$ (หรือปรับ I_B ไปได้ทั้งมีนเท่า) ทำให้ค่าขยายสามารถปรับไปได้ทั้งมีนเท่าด้วย เป็นต้น และมีโอลีโอบางแบบเช่น LM13600 [2] มีความสามารถในการปรับค่าขยายได้ถึง 6 เดเคต หรือล้านเท่า ด้วยข้อเด่นนี้ จึงมีการนำไปประยุกต์ใช้งานสำหรับกรณีที่วงจรต้องการให้คุณสมบัติของวงจรปรับค่าไปได้อย่างเป็นชิ้งเส้นได้ แต่อย่างไรก็ตามมีข้อจำกัดหลักในการประยุกต์ใช้ใน 2 ข้อ คือ 1) ช่วงปฏิบัติงานด้านอินพุทของวงจรถูกจำกัด เนื่องจากสมการ (8) จะมีค่ามิติเพียงตัวชี้งอินพุทของวงจรค่าไม่เกิน $2V_T$ (≈ 50 มิลลิโวลต์) เพื่อให้ความผิดเพี้ยนของค่าขยายไม่เกินร้อยละ 10 โดยเป็นช่วงที่ทรานส์ค่อนดักเตอร์ที่ยังประมาณการได้ว่าเป็นความสัมพันธ์เชิงเส้น และ 2) ค่า g_m ของโอลีโอจะแปรผันตามอุณหภูมิเนื่องจากผลของแรงดันอุณหภูมิ V_T จึงทำให้ใบโพลาร์โอลีโอเมื่อผลกระทบจากอุณหภูมิเปลี่ยนอย่างมาก ซึ่งเป็นผลที่ไม่ต้องการในการออกแบบวงจร อย่างไรก็

ตามได้มีการนำเสนอวิธีชุดเชยพลของอุณหภูมินี้ไว้ในเอกสารอ้างอิง [3,4]

มีข้อควรกล่าวถึงอีกบางประการคือ วงจรขยายโอลีโอเมื่อภาคสัญญาณเข้าเป็นวงจรขยายสัญญาณต่างสัญญาณเหมือนกับภาคสัญญาณเข้าของ วงจรขยายโอลีโอเรชันแนล หรือ ออปแอมป์ (operational amplifier) ดังนั้นทั้งโอลีโอและออปแอมป์จึงเป็นวงจรขยายสัญญาณผลต่างทั้งคู่ ต่างกันที่สัญญาณออกของโอลีโอเป็นสัญญาณกระแส ส่วนสัญญาณออกของออปแอมป์เป็นแรงดัน เนื่องจากสัญญาณออกเป็นกระแสทำให้การนำวงจรโอลีโอไปต่อประยุกต์ใช้ค่านวนต่างได้หลากหลาย เช่น วงจรบวกสัญญาณ (summing) วงจรอินทิเกรเตอร์ (integrator) วงจรติดไฟฟอเรนซิเอเตอร์ (differentiator) ทำได้โดยง่ายและได้หลากหลาย จึงได้ชื่อว่าเป็นวงจรขยายโอลีโอเรชันแนล เมื่อมองอปแอมป์ โดยเฉพาะการออกแบบระบบวงจรที่ต้องการปรับค่าคุณสมบัติของระบบวงจรรวมไปอย่างอัตโนมัติได้ ตัวอย่างการวิเคราะห์และการประยุกต์สามารถศึกษาได้จากเอกสารอ้างอิง [5] ถึง [14] เป็นต้น อย่างไรก็ตามถ้าหากเปรียบเทียบกับเทคโนโลยีในการสร้างวงจรรวม (fabrication) ในปัจจุบันนอกจากซึ่งเป็นวงจรรวมแบบซีมอสเทคโนโลยี (CMOS technology) แล้ว โอลีโอแบบใบโพลาร์ค่อนข้างล้าสมัย และมีข้อด้อยหลัก 2 ประการ คือ 1) วงจรแบบใบโพลาร์เทคโนโลยีจะมีขนาดที่ใหญ่กว่าวงจรแบบซีมอสเทคโนโลยีมาก จึงมีราคาแพง ใช้เนื้อที่สารภึงตัวนำมากกว่าวงจรแบบซีมอสเทคโนโลยี ที่มีขนาดเล็ก ใช้เนื้อที่สารภึงตัวนำน้ำหนักกว่า และมีแนวโน้มที่ขนาดของทรานซิสเตอร์แบบเทคโนโลยีมอสสามารถลดลงໄไปได้จนถึงขนาดเป็นนาโนเมตร และ 2) ปัจจุบันเทคโนโลยีในการสร้างวงจรรวมในอุตสาหกรรมส่วนใหญ่เป็นแบบซีมอสเทคโนโลยี ซึ่งมีข้อดีคือ ซีมอสเทคโนโลยีสามารถสร้างวงจรและล็อกและดิจิตลับสารภึงตัวนำชั้นเดียวกันได้ ทำให้ขนาดของระบบวงจรอิเล็กทรอนิกส์เล็กไปได้มาก

จากการที่โอลีโอแบบใบโพลาร์ตามรูปที่ 1 มีประโยชน์ในการนำไปประยุกต์ใช้อย่างมากมาย และมีความเป็นเอกประสงค์ (general purpose) [6,7,13] รวมถึงสามารถนำไปออกแบบระบบวงจรที่ปรับค่าขยายในช่วงกว้างได้ง่าย แต่ดังที่กล่าวแล้วว่าปัจจุบันเทคโนโลยีการออกแบบวงจรรวมส่วนใหญ่มุ่งเน้นเป็นแบบซีมอส

เทคโนโลยี และเทคโนโลยีการออกแบบวงจรรวมแบบชิ้มส่วนยี่ห้อเปลี่ยนแปลงไปอย่างรวดเร็ว มีการพัฒนาให้ดีขึ้นอยู่ตลอดเวลาและมีขนาดเล็กลงไป 2 เท่าทุกๆ 4 ปี และปัจจุบันขนาดของชิ้มอิเล็กทรอนิกส์ลดลงเข้าใกล้ขนาดนานาภูมิเตอร์มาก ซึ่งในแต่ละเทคโนโลยีที่เปลี่ยนแปลงไป ตัวอย่างเช่น 0.5 ไมครอน 0.35 ไมครอน และ 0.1 ไมครอน เทคนิคสำหรับการออกแบบวงจรเปลี่ยนแปลงไป ซึ่งผลของอุปกรณ์แฝง (stray elements) หรือ ผลกระทบกว้างของช่องทางนำกระแสสั้น (short channel effect) ในการออกแบบจำเป็นต้องนำมาพิจารณาร่วมด้วย นักวิจัยจึงมีการคิดค้น พัฒนา หาหลักการออกแบบวงจรโดยที่ເອແນบชิ้มอิเล็กทรอนิกส์ก้อนอย่างแพร่หลาย ดังนั้นในทัวร์อุปกรณ์ได้ทำการรวบรวม วิเคราะห์ วิจารณ์ และแนะนำหลักการและวิธีการที่นักวิจัยได้ทำการนำเสนอไว้ โดยมุ่งเน้นเฉพาะวงจรโดยที่ເອ หรือ วงจรทรานส์ฟอร์มเดดคอร์ท ที่ประยุกต์ใช้และพัฒนามากจากวงจรขยายสัญญาณผลิต่างแบบบางยาร (long tail pair differential amplifier) เป็นหลัก เพื่อที่ໂອที่ເອแบบชิ้มอิเล็กทรอนิกส์ที่พัฒนาได้สามารถนำไปทดสอบวงจรโดยที่ແນบไปโดยวิธีเดิมได้

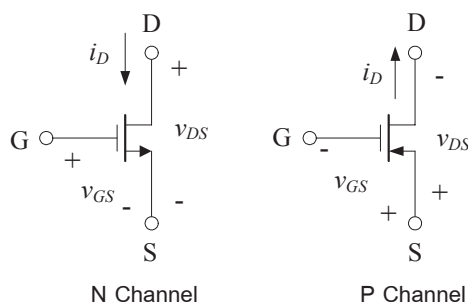
2. วงศ์รุข้ายสัณฑ์ภรณ์ต่างแนวชีมอส

ข้อจำกัดที่สำคัญของการนำชีมอสทรานซิสเตอร์มา
ออกแบบเป็นวงจรเชิงเส้น ก็คือการทำงานของชีมอส
ทรานซิสเตอร์สามารถประมวลผลได้เป็นแบบพังก์ชัน
ของสมการกำลังสอง ซึ่งเป็นสมการไม่เป็นเชิงเส้น ดัง
แสดงให้เห็นในสมการ (9)

กรณีที่มอสทรานซิสเตอร์ทำงานในช่วงอิมตัว (Saturation Region) สมการความสัมพันธ์ระหว่างกระแสเดรน (i_D) และ แรงดันเกตออร์ส (V_{GS}) ในช่วงอิมตัวคือ

$$i_D = K \frac{W}{2L} (v_{GS} - V_t)^2, \quad 0 < (v_{GS} - V_t) \leq v_{DS} \quad (9)$$

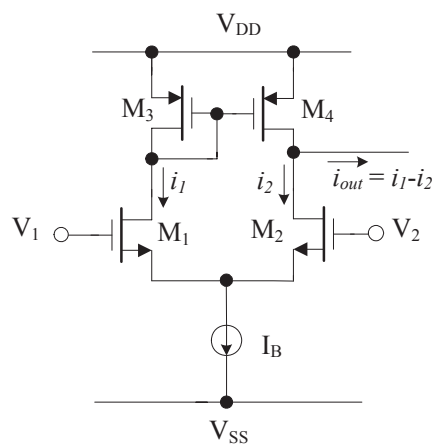
เมื่อ $K' = \mu_0 C_{ox}$ คือ transconductance parameter ($\mu A/V^2$), μ_0 คือ ค่าสปาร์คอลองที่ผิวของแซนแนล (surface mobility) มีหน่วยเป็น (cm^2/Vs), C_{ox} คือ ค่าความหนาแน่นตัวเก็บประจุที่เกตออกไซด์ (gate oxide capacitance density) มีหน่วยเป็น (F/cm^2), V_t คือ แรงดันขีดเริ่มต้น (threshold voltage) มีหน่วยเป็น (V), v_{DS} คือ แรงดันระหว่างเดนซอร์ส, W คือ ค่าความกว้าง



รูปที่ 2 ความสัมพันธ์ของข้อควรแสและแรงดันของชีมอส ทรานซิสเตอร์

ของชีวนะแนล (effective channel width) มีหน่วยเป็นเมตร (m) และ L คือ ค่าความยาวของชีวนะแนล (effective channel length) มีหน่วยเป็นเมตร (m) จากสมการคุณสมบัติของมองสทารานซีสเตอร์ใน (9) จะเห็นว่า ความสัมพันธ์ระหว่างกระแสเดรน i_D และ แรงดันเกตซอร์ส V_{GS} เป็นสมการยกกำลังสอง ซึ่งจะออกแบบให้คุณสมบัติเป็นเชิงเส้นนั่นทำได้ยากๆ ด้วยอาศัยเทคโนโลยีในการออกแบบ วงจรบางประการเพื่อทำให้ได้คุณสมบัติดังกล่าว

รูปที่ 3 แสดงวงจรวงจรขยายสัญญาณต่างแบบ
 ใช้ชีมอสทรานซิสเตอร์ สมมุติว่ามอสทรานซิสเตอร์ทุกตัว
 สมพงษ์กันและทำงานในย่านอิมตัว ดังนั้นาศัย^{คุณสมบัติ}สมการยกกำลังสองของมอสทรานซิสเตอร์ที่
 ทำงานในย่านอิมตัว โดยค่าผลต่างของสัญญาณแรงดัน
 อินพุท $V_{id} = V_1 - V_2$ และ I_B คือค่ากระแสเดดี้ซีไปอีสจาก
 ภายนอก



รูปที่ 3 วงศ์ขยายสัญญาณต่างแบบซึ่งก่อ

จากสมการ (9) จะได้ว่ากระแส i_1 และ i_2 แสดงได้ดังสมการ (10) และ (11)

$$i_1 = \frac{I_B}{2} + \frac{\mu_n C_{ox}}{4} \left(\frac{W}{L} \right) V_{id} \sqrt{\frac{4I_B}{\mu_n C_{ox}(W/L)} - V_{id}^2} \quad (10)$$

และ

$$i_2 = \frac{I_B}{2} - \frac{\mu_n C_{ox}}{4} \left(\frac{W}{L} \right) V_{id} \sqrt{\frac{4I_B}{\mu_n C_{ox}(W/L)} - V_{id}^2} \quad (11)$$

ดังนั้น กระแสเอาท์พุท (i_{out}) ของวงจรสามารถแสดงได้ดังนี้

$$i_{out} = i_1 - i_2 = \frac{\mu_n C_{ox}}{2} \left(\frac{W}{L} \right) V_{id} \sqrt{\frac{4I_B}{\mu_n C_{ox}(W/L)} - V_{id}^2} \quad (12)$$

โดยที่ $K = \frac{\mu_n C_{ox}}{2} \left(\frac{W}{L} \right)$, μ_n คือ ค่าส่วนประกอบล่องที่ผิวของชานแนลแบบ n (n -channel surface mobility of the channel) มีหน่วยเป็น (cm^2/Vs) และ I_B คือ ค่ากระแสตื้นๆไปอัล (DC bias current) และ $V_{id} = V_1 - V_2$ คือ ค่าแรงดันสัญญาณผลต่างอินพุท (differential input voltage)

จากสมการ (12) จะได้ว่าค่าข่ายทรานส์คอนดัคเต้นซ์ ของวงจรขยายสัญญาณต่างนี้ คือ

$$G_m = \frac{i_{out}}{V_{id}} = \frac{\mu_n C_{ox}}{2} \left(\frac{W}{L} \right) \sqrt{\frac{4I_B}{\mu_n C_{ox}(W/L)} - V_{id}^2} \left[1 - \frac{V_{id}^2}{\frac{4I_B}{\mu_n C_{ox}(W/L)} - V_{id}^2} \right] \quad (13)$$

ถ้าพิจารณาว่า V_{id} เป็นสัญญาณขนาดเล็ก $V_{id} \ll 1$ จะได้ค่าค่าข่ายทรานส์คอนดัคเต้นซ์ มีค่าเป็น

$$\frac{di_{out}}{dV_{id}} \Big|_{V_{id}=0} = \sqrt{\mu_n C_{ox}(W/L) I_B} \quad (14)$$

หรือ

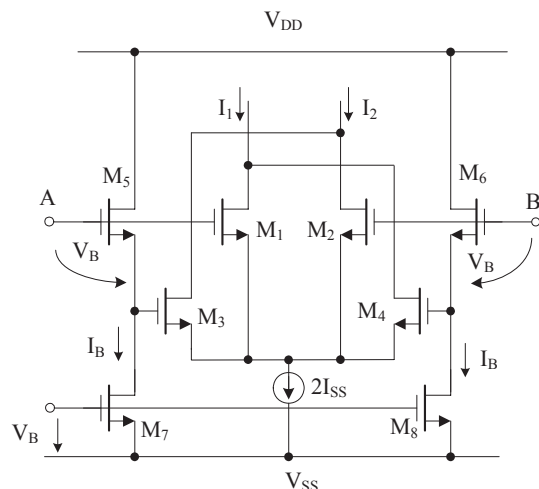
$$g_m = \sqrt{2KI_B} \quad (15)$$

จากสมการ (15) จะเห็นว่า ค่าข่ายทรานส์คอนดัคเต้นซ์ ของวงจรขยายสัญญาณต่างแบบชีมอส จะอยู่ในเทอมรากที่สองของกระแสตื้นๆไปอัล I_B ซึ่งหมายความว่าค่าข่ายนี้

สามารถปรับค่าได้ด้วยกระแส I_B แต่มีสัมพันธ์แบบไม่เป็นเชิงเส้น วงจรตามรูปที่ 3 อาจเรียกชื่ออีกอย่างหนึ่งว่า วงจรทรานส์คอนดัคเตอร์ และโดยใช้หลักการออกแบบ วงจรเดียวกับวงจรໂອทีເອແບນໃນໂປລ່າ໌ຕາມຮູບທີ 1 วงจรขยายสัญญาณต่างแบบชีมอสเมื่อนำไปประกอบกับ วงจรสะท้อนกระแส ก็สามารถพัฒนาเป็นวงจรໂອທີເອແບນ ชື່ມອສໄດ້ ใน การอธิบายต่อไปนี้จะขอกล่าวถึงเฉพาะ การพัฒนาวงจรทรานส์คอนดัคเตอร์เท่านั้น

3. วงจรทรานส์คอนดัคเตอร์แบบควบคุมด้วยแรงดัน

ที่ผ่านมาได้มีการเสนอเทคนิคในการพัฒนา โดยปรับปรุงคุณสมบัติของวงจรทรานส์คอนดัคเตอร์ตามรูปที่ 3 เพื่อให้ได้วงจรทรานส์คอนดัคเตอร์แบบชື່ມອສ ที่ให้ค่าข่ายทรานส์คอนดัคเต้นซ์ที่เป็นเชิงเส้นในรูปแบบเดียวกับหรือใกล้เคียงกับสมการ (8) มีการนำเสนอหลักการการออกแบบอย่างหลายวิธี เช่น การออกแบบที่นำเสนอด้วยเอกสารอ้างอิงหมายเลข [15-21] แต่มีข้อ不足 สังเกตว่า วงจรที่นำเสนอหันส่วนใหญ่จะปรับค่าข่ายทรานส์คอนดัคเตอร์ด้วยการปรับแรงดันควบคุม (voltage control) ซึ่งการปรับค่าด้วยแรงดันควบคุมนี้จะมีข้อจำกัดที่สำคัญคือ มีช่วงการปรับค่าได้อย่างเป็นเชิงเส้นของทรานส์คอนดัคเตอร์ที่ไม่กว้าง และไม่เหมาะสมกับวงจรแบบใช้แรงดันไฟเลี้ยงต่ำ (low voltage)



รูปที่ 4 วงจรทรานส์คอนดัคเตอร์ที่ควบคุม g_m ด้วยแรงดัน [17]

ตัวอย่างเช่น วงจรทรานส์คอนดัคเตอร์แบบชື່ມອສ เทคโนโลยีตามรูปที่ 4 เป็นวงจรทรานส์คอนดัคเตอร์ที่ออกแบบโดยใช้เทคนิค cross-coupled ที่นำเสนอด้วย

Z. Wang และ W. Gugembuh ในเอกสารอ้างอิง [17] คำนวณโดยใช้แบบจำลองที่ต้องการให้ได้ผลลัพธ์ที่ถูกต้อง แต่ในปัจจุบันนี้ ไม่สามารถหาค่าคงที่ของตัวแปรต่างๆ ที่อยู่ในแบบจำลองนี้ได้ ดังนั้น จึงต้องการหาค่าคงที่ของตัวแปรต่างๆ ที่อยู่ในแบบจำลองนี้โดยใช้ข้อมูลที่ได้รับมา

$$I_o = I_1 - I_2 = 2KV_B(V_P - V_N) \quad (16)$$

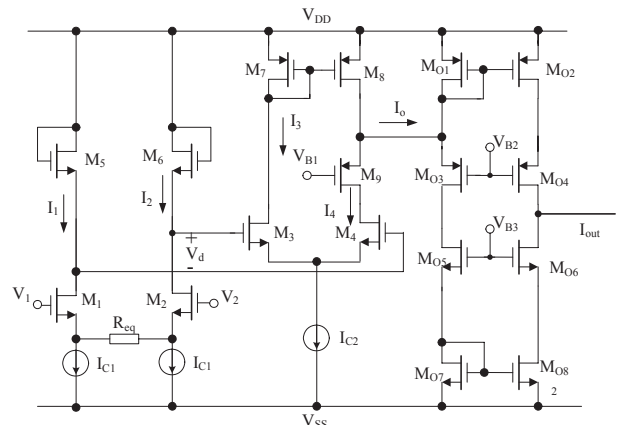
เมื่อ $K = \frac{\mu_n C_{ox}}{2} \left(\frac{W}{L} \right)$ และแรงดันอินพุต $V_{in} = V_P - V_N$ เมื่อ V_P และ V_N คือแรงดันเกต-ซอร์ส ของทรานสิสเตอร์ M_1 และ M_2 ตามลำดับ ดังนั้นจากสมการ (16) จะได้

$$I_o = I_1 - I_2 = g_m V_{in} = 2K V_B V_{in} \quad (17)$$

3.2 วงศ์จราจรทรายส์ค่อนดัคเตอร์แบบควบคุมด้วย กระแส

3.2.1 วงศ์กรานต์ค่อนดักเตอร์แบบกรานซ์ส์เตอร์ทำงานในช่วง weak inversion

สำหรับวงจรทรายส์ค่อนดัคเตอร์แบบชีมอส ที่สามารถปรับค่าขยายทรายส์ค่อนดัคแตนซ์ ได้อย่างเป็นเชิงเส้นด้วยการควบคุมกระแสเดี่ยว ได้มีการนำเสนอเช่นกัน [26, 27] แต่ว่าจะยังมีข้อด้อยที่สำคัญคือ มีช่วงที่ปรับค่าได้ไม่กว้างนัก เนื่องจากเป็นออกแบบโดยอาศัยคุณสมบัติของมอสที่ทำงานในช่วง weak inversion ดังแสดงในรูปที่ 5 วงจรนี้จึงต้องใช้คุณสมบัติของมอสทรายซิสเตอร์ที่ทำงานในย่าง weak inversion ซึ่งความสัมพันธ์ของสมการกระแสเดрен (I_D) และแรงดันเกต-ซอร์ส (V_{GS}) ในย่างนี้จะเป็นความสัมพันธ์ของฟังก์ชันเอกโพรเนนเทียล ดังแสดงในสมการ (18)



รูปที่ 5 วงจรทรานส์ค่อนดัคเตอร์ที่ควบคุม g_m ได้ด้วยกระแส [26]

$$I_D = \frac{W}{L} I_{DO} \exp\left(\frac{v_{GS}}{nV_T}\right) \quad (18)$$

โดยที่ I_{D0} คือ กระแสข้อนอกลับอิมตัว (reverse saturation current), n คือ sub-threshold slope factor, $V_T = KT/q$ คือ ค่า thermal voltage

เนื่องจากความสัมพันธ์ระหว่างกระแสเครน (I_D) และแรงดันแก๊ส-อิมิตเตอร์ (V_{GS}) เป็นความสัมพันธ์เชิงเอ็กโพเนนเชียล ซึ่งคล้ายกับความสัมพันธ์ของกระแสอิมิตเตอร์ (I_E) และแรงดันแบบ-อิมิตเตอร์ (V_{BE}) ของไบโอลาร์ทранซิสสเตอร์ ดังนั้นถ้าจัดให้สัญญาณที่อินพุตมีค่าน้อยๆ (small signal) จะทำให้กระแสเอาท์พุตที่เกิดจากการจ่ายไฟฟ้าสัญญาณผลต่าง (differential pair) มีความเป็นเชิงเส้นกับแรงดันสัญญาณเข้าได้ ดังบทความที่ [20] ดังนั้นจึงเสนอเทคนิคการสร้างสัญญาณอินพุตของแรงดันเป็น logarithmic ก่อนที่จะเข้าส่วนของวงจรขยายสัญญาณผลต่างตามรูปที่ 5 คือ ส่วนของวงจรที่ประกอบด้วยทรานซิสสเตอร์ M_1 , M_2 , M_5 และ M_6 โดยแรงดันอินพุตของวงจรทรานซิสสเตอร์ M_1 มีค่าดังสมการ (19)

$$V_d = nV_T \ln\left(\frac{I_2}{I_1}\right) \quad (19)$$

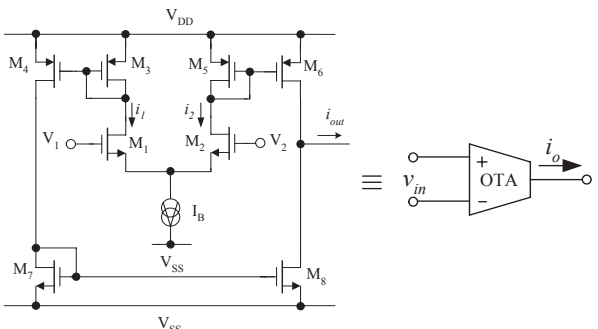
จึงทำให้ได้กระแสເອາຫຼືພູດທີ່ໄດ້ມີຄວາມເປັນເຊີງເສັ້ນແລະມີຄ່າ
ດັ່ງສອນກາຣ (20)

$$I_{out} = A \frac{I_{C2}}{I_{C1}} \ln \left(\frac{V_2 - V_1}{R_{eq}} \right) \quad (20)$$

ซึ่งจะเห็นว่าค่าข่ายทรายส์คอนดัคเต้นซ์ สามารถปรับค่าไปได้โดย กระแสไปอัล (I_{CL} หรือ I_{C2}) และอย่างไรก็ตาม ช่วงการปรับค่า g_m ด้วยกระแสนี้ยังจำกัดในช่วงแคบๆ คือ ทำได้ไม่ถึง 100 เท่า ข้อจำกัดนี้เนื่องมาจากต้องทำการไปอัลให้ทรายส์คอนดัคเตอร์ทำงานในช่วง weak inversion นั่นเอง

3.2.2 วงศ์โรทีເອແບບຕ່ອກັນແບບຄາສເຄດ

เพื่อออกแบบสร้างวงจรทรายส์ค่อนดั้คเตอร์ที่ปรับค่าขยายได้อย่างอิเล็กทรอนิกส์ ผู้เขียนจึงได้มีการคิดค้นการออกแบบวงจรทรายส์ค่อนดั้คเตอร์แบบซีมอส ที่สามารถปรับค่าได้อย่างเป็นเชิงเส้นด้วยกระแสตัวชี้ไปอัลจาราภายนอกได้ในช่วงกว้างถึงประมาณ 3 เดเคเด (1000 เท่า) ไว้ [28] โดยเรียกว่าเป็นวงจรขยายโดยเปลี่ยนแปลงทรายส์ค่อนดั้คแทนซ์ ที่ปรับค่าขยายได้ด้วยวิธีทางอิเล็กทรอนิกส์ หรือ วงจร EOTA (Electronically Tunable Operational Transconductance Amplifiers) วงจร EOTA ได้แสดงไว้ตามรูปที่ 7 โดยที่การออกแบบของวงจรอาศัยคุณสมบัติของมอสทรายซิสเตอร์ที่ทำงานในช่วงอิมตัว และใช้เทคนิคการสร้างสมการยกกำลังสอง ทั้งนี้เนื่องจากเทอมที่ไม่เป็นเชิงเส้นของทรายส์ค่อนดั้คเตอร์ของวงจรซีมอสซึ่งเดิมอยู่ในพังก์ชันของรากที่สอง ดังนั้นมีอย่างยกกำลังสองแล้วจะได้ค่าขยายทรายส์ค่อนดั้คเตอร์ของวงจรที่เป็นเชิงเส้นเกิดขึ้น โดยค่าขยายทรายส์ค่อนดั้คเตอร์นั้นเป็นพังก์ชันที่เป็นเชิงเส้นที่ขึ้นกับค่ากระแส ดีซีไปอัลจาราภายนอกได้ หรือวงจรสามารถปรับค่าขยาย ทรายส์ค่อนดั้คแทนซ์ได้ด้วยกระแสตัวชี้ไปอัลจาราภายนอกอย่างเป็นเชิงเส้นได้

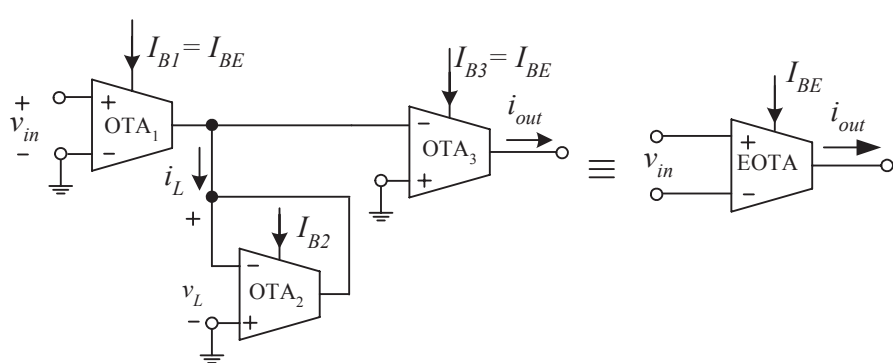


รูปที่ 6 วงศ์ชื่มอสโธทีเอแบบสมดุล

ผู้เขียนได้นำเอาท์กรานส์คองดัคเตอร์รูปที่ 3 มาต่อ
ร่วมกับวงจรสะท้อนกระแสเพื่อสร้างเป็น วงจรซีมอลโซ่ที่
เอแบบสมดุลตามวงจรรูปที่ 6 จากนั้นนำเสนอด้วยวงจรรูป
ของวงจร EOTA ตามรูปที่ 7 ที่ประกอบด้วยวงจรซีมอลโซ่
ที่เอแบบสมดุล 3 ตัว โดย OTA_1 ทำหน้าที่แปลง
สัญญาณแรงดันอินพุต ($V_{in} = V_1 - V_2$) เป็นสัญญาณ
กระแส i_L และส่งผ่านไปยัง OTA_2 ซึ่งต่อเป็นตัวด้านท่าน
แบบแยกหีฟ (Z_L) โดยที่ $Z_L = 1/g_{m2}$ และ g_{m2}
คือ ค่าค่าขยายกรานส์คองดัคแตนซ์ ของ OTA_2 ดังนั้น
สัญญาณกระแส $i_L = g_{m1}V_{in}$ จะได้ค่าแรงดันตกรคร่อมตัว
ด้านท่านแบบแยกหีฟ (OTA_2) มีค่าเป็น

$$V_L = i_L Z_L = g_{m1} V_{in} \cdot \frac{1}{g_{m2}} \quad (21)$$

ถ้ากำหนดให้ g_{m_3} คือค่าข่ายทรานส์istor ดักแทนซ์ของ OTA_3 ดังนั้น OTA_3 สามารถแปลงแรงดัน V_L เป็นค่ากระแส i_{out} ได้ดังสมการ



รูปที่ 7 วงจร EOTA ที่ออกแบบโดยใช้โอทีเอแบบซึมอสแบบสมดุล 3 ตัว [28]

$$i_{out} = g_{m3} V_L \quad (22)$$

จากสมการ (21) และ (22) จะได้สัญญาณกระแส i_{out} เป็นดังนี้

$$i_{out} = \frac{g_{m1} g_{m3}}{g_{m2}} V_{in} \quad (23)$$

เนื่องจากค่าค่าขยายทรานส์ค่อนดัคแทนซ์ $g_{m1} = \sqrt{2I_{B1}K_1}$, $g_{m2} = \sqrt{2I_{B2}K_2}$ และ $g_{m3} = \sqrt{2I_{B3}K_3}$ และกำหนดให้ $I_{B1}=I_{B3}=I_{BE}$ ดังนั้นจากสมการ (23) จะได้

$$i_{out} = \frac{2I_{BE}\sqrt{K_1 K_3}}{\sqrt{2I_{B2}K_2}} V_{in} = g_{mT} V_{in} \quad (24)$$

เมื่อ g_{mT} คือค่าค่าขยายทรานส์ค่อนดัคแทนซ์ ของวงจร EOTA มีค่าดังนี้

$$g_{mT} = 2I_{BE}K_T \quad (25)$$

และ $K_T = \sqrt{K_1 K_3 / 2I_{B2}K_2}$ กำหนดให้เป็นค่าคงที่ จากสมการ (25) จะเห็นได้ว่าค่าขยาย ทรานส์ค่อนดัคแทนซ์ ของวงจรทรานส์ค่อนดัคเตอร์ที่นำเสนอ สามารถปรับค่าได้ด้วยวิธีทางอิเล็กทรอนิกส์ โดยการปรับกระแสใบอัล I_{BE} ซึ่งสามารถปรับค่า g_m ได้กว้างถึง 1000 เท่า

อย่างไรก็ตามเนื่องจากวงจร EOTA ตามรูปที่ 7 ออกแบบโดยใช้ໂອทีເອແບນซິມອສ 3 ตัวต่อพ่วงกันเป็นหลัก โดยรวมจึงมีข้อด้อยคือ 1) วงจร EOTA จึงมีความซับซ้อนและมีขนาดใหญ่กินเนื้อที่สารภีก็ตัวนำมาก เนื่องจากต้องใช้ໂອທີ່ເອແບນซິມອສถึง 3 ตัว 2) มีข้อจำกัดที่ช่วงกว้างพลวัต (dynamic range) ถูกจำกัดด้วยช่วงกว้างพลวัตของໂອທີ່ເອແບນ ซึ่งขึ้นกับกระแสเดี่ยวที่ใบอัล และในทางปฏิบัติวงจรจำเป็นต้องมีการซัดเซย์กระแสใบอัล ด้วย ทำให้งานซับซ้อนยิ่งขึ้นไปอีก 3) เมื่อเทียบกับໂອທີ່ເອແບນใบໂພລາර์การปรับค่าค่าขยายก็ยังทำได้แค่ 3 เดเคต ซึ่งยังทำได้ไม่งວ้างนัก 4) วงจร EOTA ยังต้องใช้ไฟเลี้ยงเป็นแบบไฟบวกและไฟลบ เช่น ±5 โวลต์ ในปัจจุบัน อุปกรณ์ทางอิเล็กทรอนิกส์มักมีขนาดเล็กสามารถพกพาไปได้ง่าย เช่น โทรศัพท์มือถือ คอมพิวเตอร์ เป็นต้น มีแนวโน้มว่าอุปกรณ์เหล่านี้มักจะใช้แบตเตอรี่ที่มีขนาดเล็กที่

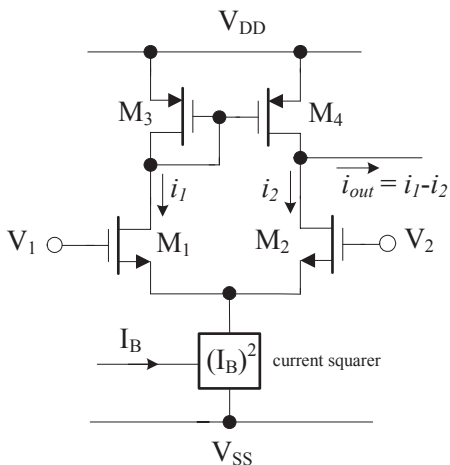
มีแรงดันไฟฟ้าเพียง 3 - 5 โวลต์เป็นต้น ดังนั้นทางวงจร ต้องออกแบบให้มีค่าน้อยและกินพลังงานต่ำ เพื่อที่จะใช้แบตเตอรี่ได้นาน ดังนั้นจึงมีความจำเป็นในการออกแบบ วงจร EOTA ให้สามารถทำงานได้ดีภายใต้ข้อจำกัดนี้ และที่สำคัญ 5) การออกแบบวงจรแอนะล็อกโดยซิมອส เทคโนโลยีนั้น ถ้าหากขนาดของตัวทรานซิสเตอร์แบบซิมอล็อกลงไปต่ำๆ คุณสมบัติของวงจรก็จะต้องออกไปด้วย เช่น การออกแบบสำหรับเทคโนโลยี 0.35 ไมครอน (1 ไมครอน = 10^{-6} เมตร) ก็จะต่างไปจากการออกแบบสำหรับเทคโนโลยี 0.1 ไมครอน เนื่องจากมีตัวแปรอื่นๆ ที่จะต้องนำมาพิจารณาเพิ่ม เป็นต้น

4. การพัฒนาวงจรทรานส์ค่อนดัคเตอร์ที่สามารถปรับค่าขยายได้

จากการศึกษาด้านค่าว่างที่ความและหนังสือ อ้างอิง ที่เกี่ยวข้องกับการออกแบบวงจรทรานส์ค่อนดัคเตอร์แบบซิมอสเทคโนโลยีดังที่กล่าวมาข้างต้น โดยเฉพาะสำหรับวงจรทรานส์ค่อนดัคเตอร์ที่สามารถปรับค่าขยายทรานส์ค่อนดัคแทนซ์ได้อย่างเป็นเชิงเส้นด้วยกระแสเดี่ยวที่ใบอัลจากภายนอก ผู้เขียนได้พัฒนาคิดที่สามารถทำการออกแบบสร้างและพัฒนาวงจรทรานส์ค่อนดัคแทนซ์ ที่สามารถปรับค่าได้อย่างเป็นเชิงเส้นด้วยกระแสเดี่ยวที่ใบอัลจากภายนอก โดยอาศัยโครงสร้างหลัก เป็นวงจรขยายสัญญาณผลิต่างแบบซิมอส ได้อีก 2 วิธี หลัก ดังต่อไปนี้

4.1 เทคนิคการสร้างสมการยกกำลังสองของกระแสเดี่ยวในอัล

แนวคิดแรกที่จะสามารถพัฒนาออกแบบวงจร ทรานส์ค่อนดัคเตอร์ ที่ให้ค่าขยายทรานส์ค่อนดัคแทนซ์ สามารถปรับค่าได้ด้วยวิธีทางอิเล็กทรอนิกส์ ด้วยกระแสเดี่ยวที่ใบอัลอย่างเป็นเชิงเส้น คือ ออกแบบให้ล้วนของกระแสเดี่ยวที่ใบอัลของคู่ผอด่าง (differential pair) อยู่ในเทอมของ I_B^2 นั้นคือต้องอาศัยการทำงานของวงจรยกกำลังสองของ สัญญาณกระแส (current squarer) ดังแสดงในรูปที่ 8



รูปที่ 8 เทคนิคการออกแบบวงจรทรานส์istor ด้วยการที่สร้างสมการ
ยกกำลังสองของกระแสเดี่ยวไปอัล

รูปที่ 9 เป็นวงจรทรานส์istor ด้วยเดอร์ที่สามารถปรับรับ
ค่าขยายทรานส์istor ด้วยเดอร์ได้อย่างเป็นเชิงเส้น ที่
นำเสนอด้วยเทคนิคการสร้างสมการยกกำลังสองของ
กระแสเดี่ยวไปอัล โครงสร้างของวงจรอาศัยการทำงานของ
วงจรขยายสัญญาณผลิตต่างแบบชีมอส และวงจรสัญญาณ
กระแสยกกำลังสอง (current squarer) โดย
มอสทรานซิสเดอร์ M₉-M₁₆ เป็นส่วนของวงจรสัญญาณ
กระแสยกกำลังสอง ซึ่งทรานซิสเดอร์ M₁₄, M₁₅ และ M₁₆
ทำหน้าที่เป็นวงจรสะท้อนกระแสที่มีค่าขยายเท่ากัน 1
(unity gain current mirror) เมื่อกำหนดให้ I_A เป็นกระแส
เดี่ยวไปอัล และ สัญญาณอินพุตที่เป็นสัญญาณกระแส I_B

ดังนั้นจากการวิเคราะห์วงจรในรูปที่ 8 จะได้ว่า
กระแส I_{BB} มีค่าดังนี้

$$I_{BB} = \frac{I_B^2}{4I_A} \quad (26)$$

จากจากสมการ (25) และ (26) เมื่อวิเคราะห์วงจรในรูปที่ 9 จะได้ว่าค่าขยายทรานส์istor ด้วยเดอร์ของวงจรมีค่าดัง
สมการ (27)

$$g_m = \sqrt{2K \left(\frac{I_B^2}{4I_A} \right)} \quad (27)$$

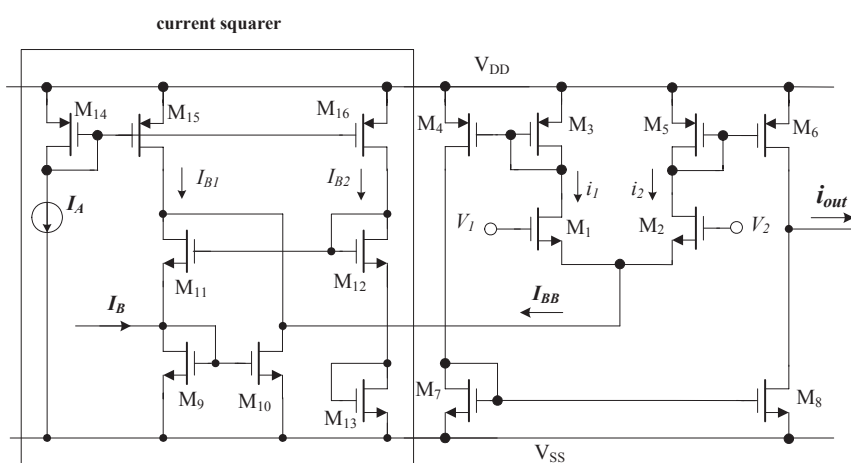
ดังนั้น

$$g_m = \sqrt{\frac{K}{2I_A}} I_B \quad (28)$$

เมื่อกำหนดให้ $K_T = \sqrt{K/2I_A}$ เป็นค่าคงที่ จะได้ว่า

$$g_m = K_T I_B \quad (29)$$

จากสมการ (29) จะเห็นว่า ค่าขยายทรานส์istor ด้วยเดอร์
สามารถปรับค่าได้อย่างเป็นเชิงเส้น ด้วยกระแสเดี่ยวไปอัล
อย่างไรก็ตามวิธีการนี้ต้องการวงจรสัญญาณกระแสยก
กำลังสองที่ทำงานได้ในช่วงกระแสที่กว้างมากได้



รูปที่ 9 วงจรทรานส์istor ที่ปรับค่า g_m ได้อย่างเป็นเชิงเส้น

4.2 เทคนิคการสร้างสมการยกกำลังสองให้กับเทอมที่ไม่เป็นเชิงเส้นของทรานส์istor แต่นั้นของวงจรขยายสัญญาณต่างชั้งเดิมอยู่ในฟังก์ชันของรากที่สอง

โดยเทคนิคการออกแบบวงจรวิธีนี้ เมื่อสร้างฟังก์ชันยกกำลังสองให้กับเทอมรากที่สองแล้วจะได้ค่าขยายทรานส์istor ดังนั้นด้วยค่าตัดนั้นของวงจรที่เป็นเชิงเส้นก็ต้องพิจารณาวงจรที่นำเสนอนี้ในรูปที่ 10 ซึ่งวงจรประกอบด้วยวงจรขยายสัญญาณต่างแบบชีมอส 2 ชุด ที่กำหนดให้มีค่ากระแสเดียวไปอัลจากภายนอก เท่ากับ I_B โดยมีแรงดันอินพุตคือ $v_{in} = v_1 - v_2$ จากการวิเคราะห์วงจรในรูปที่ 10 จะได้ว่ากระแสเอาท์พุต (i_{ol}) ของวงจรขยายสัญญาณผลต่างตัวที่ 1 คือ

$$i_{ol} = g_{m1}v_{in} \quad (30)$$

กระแส i_{ol} จะไหลผ่านตัวต้านทาน R ซึ่งทำให้เกิดแรงดันตกคร่อม R แรงดันนี้จะเป็นแรงดันอินพุตของวงจรขยายสัญญาณต่างตัวที่สอง ดังนั้นจะได้ว่า

$$i_{out} = g_{m2}v_R = g_{m2}(i_{ol}R) \quad (31)$$

จาก (30) และ (31) กระแสเอาท์พุตของวงจรสามารถแสดงได้ดังนี้

$$i_{out} = g_{m1}g_{m2}Rv_{in} \quad (32)$$

เนื่องจากค่าขยายทรานส์istor ดังนั้น $g_{m1} = \sqrt{2I_BK_1}$ และ $g_{m2} = \sqrt{2I_BK_2}$ เมื่อกำหนดให้ $I_{B1} = I_{B2} = I_B$ และ

$K_I = K_2 = K$ จากสมการ (32) จะได้

$$i_{out} = (\sqrt{2I_BKR})^2 v_{in} = (2I_BKR)v_{in} \quad (33)$$

ถ้าให้ g_{mT} คือค่าขยายทรานส์istor ดังนั้นจากสมการ (33)

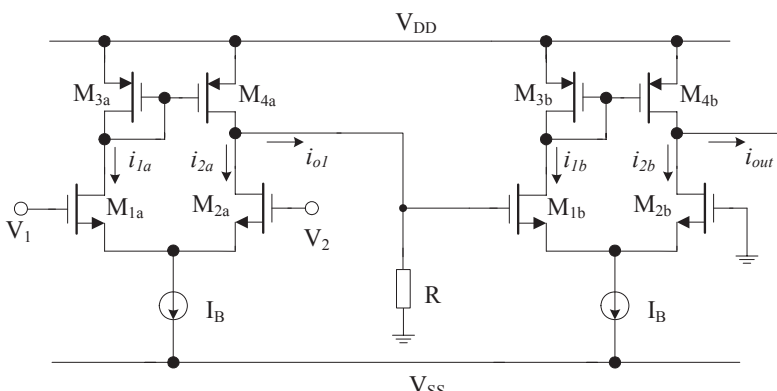
$$g_{mT} = 2I_BKR \quad (34)$$

จากสมการ (34) ถ้าออกแบบให้ K และ R เป็นค่าคงที่ จะเห็นได้ว่าค่าขยายทรานส์istor ดังนั้นของวงจรทรานส์istor ด้วยการปรับค่าได้ด้วยวิธีทางอิเล็กทรอนิกส์ ในการปรับกระแสไปอัลจากภายนอก I_B ซึ่งทำให้ช่วงความเป็นเชิงเส้นของค่าขยายทรานส์istor กว้างและไม่ถูกจำกัดด้วย

สำหรับแนวทางสำหรับการออกแบบวงจรทรานส์istor ด้วยการพัฒนาต้องพัฒนาโครงสร้างของวงจรต่อเพื่อให้วงจรมีประสิทธิภาพและมีความเหมาะสมในการสร้างเป็นวงจรรวมมากขึ้น เช่น การเปลี่ยนตัวต้านทานในรูปที่ 11 เป็นตัวต้านทานแบบแบกทีฟ และพัฒนาให้วงจรสามารถทำงานได้เป็นเชิงเส้นในช่วงสัญญาณเข้าขนาดใหญ่ (large signal)

5. บทสรุป

เทคนิคการออกแบบวงจรชีมอัลจากภายนอกด้วยค่าตัดนั้น ได้มีการพัฒนาและนำเสนอ กันมาอย่างต่อเนื่อง ทั้งนี้ เนื่องจากเป็นวงจรเอนอลจิกพื้นฐานที่มีความสำคัญและมีการประยุกต์ใช้อย่างกว้างขวาง จากการศึกษาพบว่า วงจร



รูปที่ 10 วงจรทรานส์istor ที่ปรับค่า g_m ได้อย่างเป็นเชิงเส้น โดยเทคนิคการสร้างสมการยกกำลังสองให้กับเทอมที่ไม่เป็นเชิงเส้นของทรานส์istor แต่นั้น

ทรานส์ค่อนดักเตอร์ที่อัตราขยายทรานส์ค่อนดักแทนซ์สามารถปรับค่าได้ด้วยแรงดันแบบเป็นเชิงเส้นนั้น ยังมีขีดจำกัดของคุณสมบัติต้านการปรับค่าอัตราขยายที่ทำได้ในช่วงแคบ เนื่องจากแรงดันไฟเลี้ยงมีขีดจำกัด ดังนั้นการพัฒนาเพื่อให้ได้รับค่าที่สามารถปรับอัตราขยายทรานส์ค่อนดักแทนซ์ได้ในช่วงกว้าง จึงใช้เทคนิคการควบคุมอัตราขยายทรานส์ค่อนดักแทนซ์ด้วยกระแสแทน ในบทความนี้ นอกจากทำการประมวลผลการออกแบบวงจรต่างๆ ของวงจรทรานส์ค่อนดักเตอร์ที่ปรับอัตราขยายทรานส์ค่อนดักแทนซ์ ด้วยวิธีอิเล็กทรอนิกส์ที่ได้มีการนำเสนอไว้แล้ว ยังได้นำเสนอเทคโนโลยีการพัฒนาวงจรให้สามารถปรับค่าอย่างเป็นเชิงเส้นด้วยกระแสแทนซ์ไปอีกจากภายนอกได้ในช่วงกว้าง โดยลดความซับซ้อนของวงจรลง เพื่อให้กำลังสูญเสียในวงจรลดน้อยลง ทำให้มีความเหมาะสมสมกับเทคโนโลยีที่ใช้ในปัจจุบันไว้ด้วย ผู้เขียนหวังว่า บทความนี้จะเป็นประโยชน์ต่อผู้อ่านในสาขาวิชาการออกแบบวงจรรวมและลึก ที่จะนำความรู้ไปต่อยอดต่อไปได้ไม่ยากก็น้อย

กิตติกรรมประกาศ

ผู้เขียนขอขอบพระคุณ ศ.ดร.วัลลภ สุระกำพลชร เป็นอย่างสูง สำหรับคำแนะนำและข้อเสนอแนะที่เป็นประโยชน์ในการเขียนบทความนี้

เอกสารอ้างอิง

- [1] Wittlinger H. A. 1972. Application of the CA3080 and CA3080A High Performance Operational Transconductance Amplifiers, RCA Application Note ICAN-6668. Data book: 247-248.
- [2] National Semiconductor Corporation. 1989. LM 13600 Dual Operational Transconductance Amplifiers with Linearizing diodes and Buffers, General Purpose Linear Devices Data book. National Semiconductor: 3.713-3.730.

- [3] Silva-Martinez, J. and Sanchez-Sinencio, E. 1989. Analogue OTA Multiplier without Input Voltage Swing Restrictions and Temperature-Compensation. Electronics Letters, 22: 599-600.
- [4] Surakampontorn, W., Kumwachara, K., Riewruja, V. and Fongsamut, C. 1998. Temperature Compensation of Translinear Current Conveyor and OTA. Electronics Letters, 34: 707-708.
- [5] Surakampontorn, W., Riewruja, V., Kumwachara, K., Surawatpunya, C. and Anuntahiranruk, K. 1999. Temperature-Insensitive OTA-Based Voltage-to-Current Converter and Its Applications. IEEE Trans. Instrumentation and Measurement, 48: 1270-1277.
- [6] Randall L. Geiger and Edgar Sanchez-Sinencio, 1985. Active Filter Design Using Operational Transconductance Amplifier: A Tutorial. IEEE Circuit, Devices Mag., 1: 20-32.
- [7] Edgar Sanchez-Sinencio, Jaime Ramirez-Angulo, Bernabe Linares-Barranco and Angel Rodriguez-Vazquez. 1989. Operational Transconductance Amplifier-Based Nonlinear Function Syntheses. IEEE Solid-State Circuits, 24: 315 – 317.
- [8] Jie Wu and Ezz I. El-Masry. 1998. Current-Mode Bandpass Ladder Filters Using OTAs. International Journal of Electronics, 85: 61-70.
- [9] Park, C. S. and Schaumann, R. 1986. A High-frequency CMOS Linear Transconductance

- Element. IEEE Trans. Circuits Systems., CAS-33: 1132-1138.
- [10] Krummenacher, F. and Joehl, N. 1988. A 4 MHz CMOS Continuous-time Filter with On-Chip Automatic Tuning. IEEE J. of Solid-State circuits, SC-23: 750-758.
- [11] Senari, R. and Kumar, B.A. 1989. Linearly Tunable Wien Bridge Oscillator Realised with Operational Transconductance Amplifiers. Electronics Letters, 25: 19-21.
- [12] Chung, W.S., Kim, K.H. and Cha, H.W. 1992. A Linear Operational Transconductance Amplifier for Instrumentation Applications. IEEE Trans. Instrumentation and Measurement, 41: 441-443.
- [13] Ray, M. 1988. Working with OTA's: How to Use Operational Transconductance Amplifier in Your Designs and Projects. Radio-Electronics Magazine, 63-68.
- [14] Khan IQBAL, A. and Ahmed Muslim, T. 1987. Wide-range Electronically Tunable Multifunctional OTA-C Filter for Instrumentation Applications. IEEE Trans. Instrumentation and Measurement, IM-36:13-17.
- [15] Klumperink, E., van der Zwan, E. and Seevinck, E. 1989. CMOS Variable Transconductance Circuit with Constant Bandwidth. Electronics Letters, 25:675-676.
- [16] Huang, S.-C. and Ismail, M. 1993. Linear Tunable COMFET Transconductor. Electronics Letters, 29:459-461.
- [17] Wang, Z. and Guggenbuhl, W. 1990. A Voltage-Controllable Linear MOS Transconductor Using Bias Technique. IEEE J. Solid-State Circuits, 25: 315-317.
- [18] Wilson, G. and Chan, P.K. 1993. Saturation-Mode CMOS Transconductor with Enhanced Tunability and Low distortion. Electronics Letters, 29: 459-461.
- [19] Wang, Z. and Walter, G. 1990. A Voltage-Controlled Linear MOS Transconductor Using Bias Offset Technique. IEEE J. Solid-State Circuits, 25: 315-317.
- [20] Wang, Z. 1990. Novel linearisation technique for implementing large-signal MOS tunable transconductor. Electronics Letters, 26: 138-139.
- [21] Jiunn, Y. L., Chien, C. T. and Wei, H. C. 2000. A 3 V linear input range tunable CMOS transconductor and its application to a 3.3 V 1.1 MHz Chebyshev low-pass Gm-C filter for ADSL. IEEE 2000 Custom Integrated Circuits Conference, 21-24 May 2000: 387 - 390.
- [22] Pamisano, G. and Pennisi, S. 2001. New CMOS tunable transconductor for filtering applications. The 2001 IEEE International Symposium on Circuits and Systems, 6-9 May 2001: 196 – 199.
- [23] Torralba, A., Martinez-Heredia, J.M., Carvajal, R.G. and Ramirez-Angulo, J. 2002. Low-voltage transconductor with high linearity and large bandwidth. Electronics Letters, 38:1616-1617.
- [24] Galán, J.A., Carvajal, R.G., Muñoz, F., Torralba A. and Ramírez-Angulo J. 2003. Low-Power Low-Voltage Class-AB Linear OTA for HF Filters with a Large Tuning Range. Analog Integrated Circuits and Signal Processing, 37: 275-280.

- [25] Calvo, B., Celma, S., Sanz, M.T., Alegre, J.P. and Aznar, F. 2008. Low-Voltage Linearly Tunable CMOS Transconductor With Common-Mode Feedforward. *IEEE Transactions on Circuits and Systems I*, 55: 715-721.
- [26] Hung, C.-C. and Halonen, K. 1997. Micropower CMOS GM-C Filters for Speech Signal Processing. *IEEE International Symposium on Circuit and systems*, 1972-1974.
- [27] Bruschi, P., Sebastiano, F., Nizza, N. and Piotto, M. 2005. A tunable CMOS transconductor for ultra-low Gm with wide differential input voltage range. *Proceedings of the 2005 European Conference on Circuit Theory and Design*, 28 Aug.-2 Sept. 2005, 3: III/337 - III/340.
- [28] Kaewdang, K., and Surakampontorn, W. 2007. On the Realization of Electronically Current-tunable CMOS OTA. *International Journal of Electronics and Communications*, 61: 300-306.